

郭健玲, 梁桥新, 曾 伶,等 3 种扁谷盗对不同波长光趋性研究[J]. 华南农业大学学报,2016,37(3):90-94.

3 种扁谷盗对不同波长光趋性研究

郭健玲1、梁桥新1、曾 伶2、沈斌斌1、梁广文1 (1 华南农业大学 农学院、广东 广州 510642; 2 广东省粮食科学研究所,广东 广州 510050)

摘要:【目的】研究锈赤扁谷盗 Cryptolestes ferrugineus 成虫、土耳其扁谷盗 Cryptolestes turcicus 和长角扁谷盗 Cryptolestes pusillus 雌成虫对不同波长光的趋性。【方法】室内应用光行为反应装置测试3种扁谷盗羽化1、11、21和31日 龄(雌)成虫对试验波长303、320、330、340、351、368、400、445、460、480、520、525、545、560、575和580 nm的趋光率。 【结果】锈赤扁谷盗羽化 1、11、21 和 31 日龄成虫趋光率最高的刺激光波长分别为 351、351、400、480 nm, 对锈赤扁 谷盗成虫诱集效果较好的光波长有 351、400 和 445 nm, 随着日龄的增加, 对锈赤扁谷盗成虫诱集率大于 20% 的光 波数增加;土耳其扁谷盗羽化1、11、21和31日龄趋光率分别为16%~51%、11%~46%、7%~37%和4%~28%, 雌成虫趋光率最高的刺激光波长分别为 351(368)、368、330 和 351 nm, 对土耳其扁谷盗雌成虫诱集效果较好的光 波长有 368、351 和 303 nm;长角扁谷盗羽化 1、11、21 和 31 日龄趋光率分别为 1.11% ~ 75.56%、18.89% ~ 70.00%、33.33%~62.22%和22.22%~71.11%, 雌成虫趋光率最高的刺激光波长分别为575、320、400(445)和 320(560)nm,对长角扁谷盗雌成虫诱集效果较好的光波长有 320、575 和 330 nm。【结论】锈赤扁谷盗成虫的趋光 性随着日龄的增加而增强,土耳其扁谷盗雌成虫的趋光性随着日龄的增加而下降,长角扁谷盗雌成虫的趋光性随 着日龄的增加略为下降。

关键词:锈赤扁谷盗; 土耳其扁谷盗; 长角扁谷盗; 日龄; 波长; 趋光性

中图分类号:Q968.1

文献标志码:A

文章编号:1001-411X(2016)03-0090-05

Phototaxis behavior of three species of *Cryptolestes* to lights with different wavelengths

GUO Jianling¹, LIANG Qiaoxin¹, ZENG Ling², SHEN Binbin¹, LIANG Guangwen¹ (1 College of Agriculture, South China Agriculture University, Guangzhou 510642, China; 2 Guangdong Institute of Food Science, Guangzhou 510050, China)

Abstract: Objective To study phototaxis of Cryptolestes ferrugineus adults, the female adults of Cryptolestes turcicus and Cryptolestes pusillus to lights with different wavelengths. [Method] A light behavior reaction device was used to test the phototactic ratios of 1-day-old, 11-day-old, 21-day-old and 31-day-old (female) adults of three species of *Cryptolestes* to lights with wavelengths of 303, 320, 330, 340, 351, 368, 400,445,460,480,520,525,545,560,575 and 580 nm. [Result] The wavelengths of simulating lights resulting in the highest phototactic ratios of the 1-, 11-, 21-, and 31-day-old adults of C. ferrugineus were 351, 351, 400, and 480 nm respectively. The wavelengths with relatively better trapping effects for C. ferrugineus adults were 351, 400 and 445 nm. With the increase of age, the number of wavelengths that led to over 20% phototactic ratio of C. ferrugineus increased. The phototactic ratios of 1-, 11-, 21-, and 31-day-old female adults of C. turcicus ranged from 16% to 51%, 11% to 46%, 7% to 37%, and 4% to 28% respectively, and the light wavelengths resulting in the highest phototactic ratios were 351 (368), 368, 330, and 351 nm respectively. The wavelengths with relatively better trapping effects for

收稿日期:2015-10-13 优先出版时间:2016-04-15

优先出版网址; http://www.cnki.net/kcms/detail/44.1110.s.20160415.1555.034.html

作者简介:郭健玲(1993—),女,硕士研究生,E-mail:gilshare@163.com;通信作者:沈斌斌(1965—),男,副教授,博士, E-mail: shenbinbin@ scau. edu. cn

基金项目: 国家粮食公益性行业科研专项(201313002-04)

female adults of *C. turcicus* were 368, 351 and 303 nm. The phototactic ratios of 1-, 11-, 21-, and 31-day-old female adults of *C. pusillus* ranged from 51.11% to 75.56%, 18.89% to 70.00%, 33.33% to 62.22%, and 22.22% to 71.11% respectively, and the light wavelengths resulting in the highest phototactic ratios at these four ages were 575, 320, 400(445), and 320(560) nm respecticely. The wavelengths with relatively better trapping effects for female adults of *C. pusillus* were 320, 575 and 330 nm. [Conclusion] The phototactic ratios of *C. ferrugineus* adults increase with age, the phototactic ratios of the female adults of *C. pusillus* decreases slightly with age.

Key words: Cryptolestes ferrugineus; Cryptolestes turcicus; Cryptolestes pusillus; age in days; wavelength; phototaxis

仓储害虫体积小、繁殖快、适应力强、分布广^[1],它们的存在不仅直接影响储粮量,而且容易使储粮成分劣变^[2-3]。化学防治一直是防治仓储害虫的主要手段,虽然其在一定程度上控制了害虫的发展和危害,但也导致了害虫抗药性的产生^[4],使得其易发、难防、难治^[5]。

扁谷盗类害虫主要包括锈赤扁谷盗 Cryptolestes ferrugineus、土耳其扁谷盗 Cryptolestes turcicus 和长角扁谷盗 Cryptolestes pusillus 等普遍发生的储粮害虫^[6]。其成虫和幼虫均能危害有损伤的禾谷类粮粒、豆类、油料等多种农产品及其加工产品^[7],在粮堆发热时最易发生^[8],并易大量聚集在潮湿粮食中引起霉变^[9]。研究^[10-11]表明锈赤扁谷盗已成为世界上发生最为普遍的储粮害虫,也是中国粮库储粮中最难防治的害虫之一。

本试验研究了锈赤扁谷盗 C. ferrugineus 成虫、 土耳其扁谷盗 C. turcicus 和长角扁谷盗 C. pusillus 雌成虫对不同波长光的趋性,以期为扁谷盗类害虫 的绿色防控提供参考依据。

1 材料与方法

1.1 材料

3 种扁谷盗成虫由广东省粮食科学研究所提供, 在华南农业大学农学院昆虫实验室无光、温度 28~ 30 ℃、湿度 75%~80% 的培养箱内进行繁殖。每天 成虫过 60 目筛留下卵,用含 w = 5% 酵母的全麦粉作 为饲料在广口玻璃瓶中饲养。待卵孵化出的幼虫化 蛹、羽化为成虫后分批培养并记录成虫羽化日龄。

光行为反应装置(图1)主体可分3个部分,即 趋光反应室、避光反应室和栖息反应室,其中趋光反 应室和避光反应室大小相等,2室中间隔开、不透光。 避光反应室和栖息反应室外面用黑胶布覆盖、不透 光。图1中阴影部分2个等面积方框分别为栖息反 应室与趋光反应室、避光反应室贴合面上的2个开口,以保证光照处理时,试虫可自由选择趋光反应室 或避光反应室。

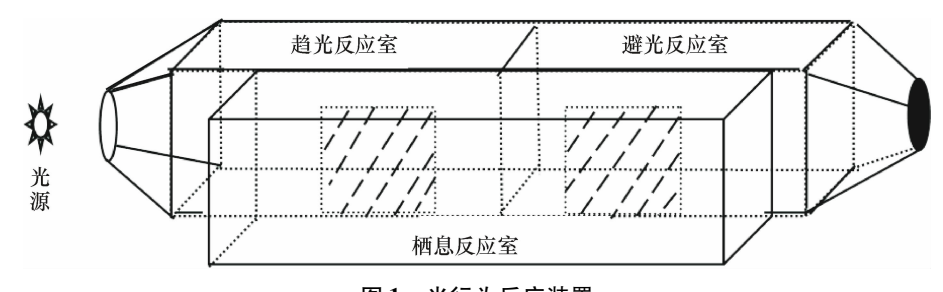


图 1 光行为反应装置

Fig. 1 Light behavior reaction device

试验波长为 303、320、330、340、351、368、400、445、460、480、520、525、545、560、575 和 580 nm。智能便携式网状诱虫灯,产品型号为 FWS-SP-5B,灯泡的规格均为 12 V、8 W,由深圳市富巍盛科技有限公司生产。

1.2 方法

试验在暗室内进行,室内温度保持在 $25\sim28$ $^{\circ}$ 、相对湿度为 $75\%\sim80\%$ 。

分别挑选羽化日龄为 1、11、21 和 31 日的锈赤扁谷盗成虫、土耳其扁谷盗雌成虫和长角扁谷盗雌成虫健壮个体进行试验,30 头成虫置于 1 个培养皿

http://xuebao.scau.edu.cn

%

中作为1个处理,每个处理重复3次。为使成虫复眼适应状态尽量一致,每次试验处理(光照刺激)前, 先将试验成虫放置在暗室中适应1h再进行光照处理。

将上述波长的灯泡安装于诱虫灯上进行试验。试验开始时将经过暗适应处理的 30 头虫体放进栖息室并盖好口,保证所有光行为反应装置与光源在距离和高度等方面保持一致,然后进行光照处理 45 min,取出反应装置,记录趋光室内试虫个体数,计算趋光率。

趋光率 = (趋光反应室的虫数/试虫数)×100%。

1.3 数据处理

应用软件 SPSS19.0 对试验数据进行统计和分析。

2 结果与分析

锈赤扁谷盗不同羽化日龄成虫对不同波长光的 趋光率见表 1。在 351、320 nm 光的刺激下,锈赤扁 谷盗 1 日龄成虫的趋光率较高,分别为 23.33%、 22.22%;351 nm 光对锈赤扁谷盗 11 龄成虫引诱作 用最强,其成虫趋光率达到 32. 22%;400 nm 光引诱锈赤扁谷盗 21 龄成虫效果最好,其成虫趋光率为 28. 89%;锈赤扁谷盗 31 日龄成虫趋光率较高 (23. 33%~28. 89%)的刺激光波长较多,包括 480、320、330、340、400、520、525、303 和 445 nm。在粮仓内,锈赤扁谷盗成虫羽化日龄一般不整齐、各种羽化日龄成虫同时存在,因此,用 4 种羽化日龄成虫趋光率的平均值来估计实际环境中锈赤扁谷盗成虫的趋光率。表 1 可以看出,较吸引锈赤扁谷盗成虫的波长为 351、400 和 445 nm,其成虫趋光率依次为 23. 89%、22. 22%和 20. 83%。

320、351、368、445 nm 的光对锈赤扁谷盗 1 日龄成虫的诱集率大于 20%,303、351 nm 的光对锈赤扁谷盗 11 日龄成虫的诱集率大于 20%,320、368、400、445、545 nm 的光对锈赤扁谷盗 21 日龄成虫的诱集率大于 20%,而 303、320、330、340、351、400、445、460、480、520、525、545 和 560 nm 的光对锈赤扁谷盗 31 日龄成虫的诱集率大于 20%。可见,随着龄期的增加,锈赤扁谷盗成虫对各种光的趋光性呈现增强的趋势。

表 1 锈赤扁谷盗不同羽化日龄成虫对不同波长光的趋光率1)

Tab. 1 The phototactic ratios of *Cryptolestes ferrugineus* adults at different ages to lights with different wavelengths

	F	J. J. Francisco J. C. C. G. C. C. C.		,	 /
λ/nm	羽化1日龄	羽化 11 日龄	羽化 21 日龄	羽化31 日龄	平均值
303	16.67 ± 0.58 abcd	22. 22 ± 0. 33b	$18.89 \pm 0.67 $ bcd	23.33 ± 0.58ab	20.28 ± 3.06abc
320	22.22 ± 0.33 ab	$6.67 \pm 0.58 fg$	$23.33 \pm 0.58ab$	24.44 ± 0.33 ab	19. 17 ± 8.38 abc
330	$16.67\pm0.58\mathrm{abcd}$	$12.22\pm0.33\mathrm{cdefg}$	$18.89 \pm 0.88 \mathrm{bcd}$	24.44 ± 0.33 ab	$18.06 \pm 5.08 \mathrm{abc}$
340	$17.78\pm0.33\mathrm{abcd}$	$7.78 \pm 0.33 \mathrm{efg}$	$14.44 \pm 0.88 \mathrm{cde}$	24.44 ± 0.88 ab	$16.11 \pm 6.94 abc$
351	$23.33 \pm 1.53a$	$32.22 \pm 0.33a$	$18.89 \pm 1.2 \mathrm{bcd}$	21.11 ± 0.33 ab	$23.89 \pm 5.84c$
368	$21.11\pm1.2\mathrm{abc}$	$5.56 \pm 1.2g$	22.22 ± 0.88 abc	18.89 ± 0.33 ab	$16.95 \pm 7.72 abc$
400	$17.78\pm0.88\mathrm{abcd}$	$17.78\pm1.67\mathrm{bcd}$	$28.89 \pm 0.33a$	24.44 ± 0.88 ab	$22.22\pm5.44\mathrm{bc}$
445	20.00 ± 0.58 abc	$17.78\pm1.33\mathrm{bcd}$	22.22 ± 0.88 abc	$23.33 \pm 1 ab$	$20.83\pm2.46\mathrm{abc}$
460	$11.11 \pm 0.33 d$	$8.89 \pm 0.67 \mathrm{defg}$	$12.22 \pm 0.33 de$	$21.11 \pm 1.45 ab$	$13.33 \pm 5.37 ab$
480	$11.11 \pm 0.67 d$	$18.89 \pm 0.67 {\rm bc}$	$17.78\pm0.33\mathrm{bcde}$	$28.89 \pm 0.88a$	19. 17 \pm 7. 34abc
520	$18.89 \pm 0.88 \mathrm{abcd}$	$15.56\pm0.33\mathrm{bcdef}$	$17.78\pm0.33\mathrm{bcde}$	24.44 ± 0.33 ab	19.17 \pm 3.78 abc
525	$14.44 \pm 0.33 \mathrm{bcd}$	$16.67\pm0~\mathrm{bcde}$	$17.78\pm0.67\mathrm{bcde}$	24.44 ± 1.76 ab	$18.33 \pm 4.30 abc$
545	$14.44 \pm 0.33 $ bed	$18.89 \pm 0.67 {\rm bc}$	$20.00\pm0.58\mathrm{bcd}$	22.22 ± 0.88 ab	$18.89\pm3.27\mathrm{abc}$
560	$13.33 \pm 0.58 \mathrm{cd}$	$11.11\pm0.33\mathrm{cdefg}$	$17.78\pm0.33\mathrm{bcde}$	$20.00 \pm 1.15 ab$	15.56 ± 4.06 abc
575	$17.78\pm0.67\mathrm{abcd}$	$16.67\pm1.53\mathrm{bcde}$	$10.00 \pm 0.58e$	$14.44 \pm 0.67 \mathrm{b}$	14.72 ± 3.44 ab
580	$14.44 \pm 0.88 bcd$	$8.89\pm0.67\mathrm{defg}$	$10.00 \pm 1.53e$	17.78 ± 0.88 b	$12.78 \pm 4.11a$
			·	·	·

1)同列数据后凡具有相同一个字母者,表示差异不显著(P>0.05, Duncan's 法)

土耳其扁谷盗不同羽化日龄雌成虫对不同波长光的趋光率见表 2。351 和 368 nm 光对土耳其扁谷盗 1 日龄 雌成虫引诱作用最强,趋光率均为51.11%;368 nm 对 11 日龄雌成虫引诱作用最强,趋光率为46.67%;330 nm 对 21 日龄雌成虫引诱作用最强,趋强,趋光率为37.78%;351 nm 对 31 日龄雌成虫引诱作用最强,趋光率为 28.89%。总的看来,引诱土

耳其扁谷盗雌成虫较好的波长为 368、351 和 303 nm, 雌成虫趋光率依次为:37.78%、33.06% 和 31.67%。

土耳其扁谷盗1日龄雌成虫的趋光率为16%~51%,11日龄雌成虫趋光率为11%~46%,21日龄雌成虫趋光率为7%~37%,31日龄雌成虫趋光率为4%~28%。可见随着日龄的增大,土耳其扁谷盗雌成虫的趋光性呈现下降的趋势。

http://xuebao.scau.edu.cn

表 2 土耳其扁谷盗不同羽化日龄雌成虫对不同波长光的趋光率1)

Tab. 2 The phototactic ratios of female adults of Cryptolestes turcicus at different ages to lights with different wavelengths

入/mm 羽化1日酸 羽化1日酸 羽化21日酸 羽化31日酸 平均値 303 50.00±5.66a 31.11±0.47bcde 30.00±1.41ab 15.56±0.47bcde 31.67±14.13ab 320 47.78±2.62ab 27.78±1.89cdef 28.89±2.05ab 16.67±0.82bcd 30.28±12.91ab 330 21.11±0.94ef 11.11±0.47h 37.78±0.47a 21.11±0.47abc 22.78±11.06ab 340 30.00±1.41cdef 34.44±1.70abcd 14.44±1.25cd 15.56±3.86bcde 23.61±10.12ab 351 51.11±0.47a 40.00±1.41abc 12.22±0.47cd 28.89±0.47a 33.06±16.59ab 368 51.11±4.19a 46.67±2.83a 28.89±2.87ab 24.44±0.47ab 37.78±13.09b 400 32.22±1.25bcdef 24.44±2.05defg 21.11±1.25bc 20.00±0.82abc 24.44±5.52ab 445 28.89±0.94def 15.56±0.94fgh 11.11±0.47cd 14.44±0.94bcde 17.50±7.82ab 460 34.44±0.47abcde 16.67±1.41efgh 28.89±1.25ab 4.44±0.47e 21.11±13.36ab 480 24.44±2.05def 18.89±1.25efgh 21.11±0.47bc 17.78±0.94abcd 20.56±2.94ab 525 36.67±2.45abcde 21.11±1.89efgh 15.56±0.47cd 20.00±2.16abc 23.61±11.24ab 525 36.67±2.45abcde 21.11±1.89efgh 15.56±0.47cd 20.00±2.16abc 23.34±9.21ab 545 16.67±0.00f 22.22±1.70defgh 17.78±1.70cd 4.44±0.47e 15.28±7.61a 560 41.11±0.47abcd 25.56±0.47cd 21.11±0.47cb 12.22±1.70ded 24.72±10.79ab 580 46.67±1.63abc 42.22±2.87ab 7.78±0.94d 14.44±1.25bcde 27.78±19.52ab 27.78±19.5	r		J			
$\begin{array}{cccccccccccccccccccccccccccccccccccc$	λ/nm	羽化1日龄	羽化11日龄	羽化 21 日龄	羽化31日龄	平均值
$\begin{array}{cccccccccccccccccccccccccccccccccccc$	303	50.00 ± 5.66a	31.11 ± 0.47 bcde	30.00 ± 1.41ab	15.56 ± 0.47 bcde	31. 67 ± 14. 13ab
$\begin{array}{cccccccccccccccccccccccccccccccccccc$	320	$47.78 \pm 2.62ab$	$27.78\pm1.89\mathrm{cdef}$	$28.89 \pm 2.05 ab$	$16.67 \pm 0.82 $ bcd	$30.28 \pm 12.91 ab$
$\begin{array}{cccccccccccccccccccccccccccccccccccc$	330	$21.11 \pm 0.94ef$	$11.11 \pm 0.47 h$	$37.78 \pm 0.47a$	$21.11\pm0.47\mathrm{abc}$	22.78 ± 11.06 ab
$\begin{array}{cccccccccccccccccccccccccccccccccccc$	340	$30.00\pm1.41\mathrm{cdef}$	$34.44 \pm 1.70 \mathrm{abcd}$	$14.44\pm1.25\mathrm{cd}$	$15.56\pm3.86\mathrm{bcde}$	$23.61 \pm 10.12ab$
$\begin{array}{cccccccccccccccccccccccccccccccccccc$	351	$51.11 \pm 0.47a$	$40.00 \pm 1.41 \mathrm{abc}$	$12.22\pm0.47\mathrm{cd}$	$28.89 \pm 0.47a$	$33.06 \pm 16.59 ab$
$\begin{array}{cccccccccccccccccccccccccccccccccccc$	368	$51.11 \pm 4.19a$	$46.67 \pm 2.83a$	$28.89 \pm 2.87 ab$	$24.44 \pm 0.47 ab$	$37.78 \pm 13.09 \mathrm{b}$
$\begin{array}{cccccccccccccccccccccccccccccccccccc$	400	$32.22\pm1.25\mathrm{bcdef}$	$24.44\pm2.05\mathrm{defg}$	$21.11\pm1.25\mathrm{bc}$	20.00 ± 0.82 abc	$24.44 \pm 5.52ab$
$\begin{array}{cccccccccccccccccccccccccccccccccccc$	445	$28.89\pm0.94\mathrm{def}$	$15.56 \pm 0.94 \text{fgh}$	$11.11\pm0.47\mathrm{cd}$	$14.44\pm0.94\mathrm{bcde}$	$17.50 \pm 7.82ab$
$\begin{array}{cccccccccccccccccccccccccccccccccccc$	460	$34.44\pm0.47\mathrm{abcde}$	$16.67\pm1.41\mathrm{efgh}$	$28.89 \pm 1.25 ab$	$4.44 \pm 0.47e$	21.11 ± 13.36 ab
525 36.67 ± 2.45 abcde 21.11 ± 1.89 efgh 15.56 ± 0.47 cd 20.00 ± 2.16 abc 23.34 ± 9.21 ab 545 16.67 ± 0.00 f 22.22 ± 1.70 defgh 17.78 ± 1.70 cd 4.44 ± 0.47 e 15.28 ± 7.61 a 560 41.11 ± 0.47 abcd 25.56 ± 0.47 defg 15.56 ± 0.47 cd 7.78 ± 1.25 de 22.50 ± 14.38 ab 575 37.78 ± 1.70 abcde 27.78 ± 1.70 cdef 21.11 ± 0.47 cb 12.22 ± 1.70 cde 24.72 ± 10.79 ab	480	$24.44 \pm 2.05 \text{def}$	$18.89\pm1.25\mathrm{efgh}$	$21.11\pm0.47\mathrm{bc}$	$17.78\pm0.94\mathrm{abcd}$	20.56 ± 2.94 ab
545 $16.67 \pm 0.00f$ $22.22 \pm 1.70 defgh$ $17.78 \pm 1.70 cd$ $4.44 \pm 0.47 e$ $15.28 \pm 7.61 a$ 560 $41.11 \pm 0.47 abcd$ $25.56 \pm 0.47 defg$ $15.56 \pm 0.47 cd$ $7.78 \pm 1.25 de$ $22.50 \pm 14.38 ab$ 575 $37.78 \pm 1.70 abcde$ $27.78 \pm 1.70 cdef$ $21.11 \pm 0.47 cb$ $12.22 \pm 1.70 cde$ $24.72 \pm 10.79 ab$	520	$33.33\pm1.63\mathrm{abcdef}$	14.44 ± 0.94 gh	$33.33 \pm 1.63a$	$13.33\pm2.16\mathrm{bcde}$	23.61 ± 11.24 ab
560 41.11 \pm 0.47abcd 25.56 \pm 0.47defg 15.56 \pm 0.47cd 7.78 \pm 1.25de 22.50 \pm 14.38ab 575 37.78 \pm 1.70abcde 27.78 \pm 1.70cdef 21.11 \pm 0.47cb 12.22 \pm 1.70cde 24.72 \pm 10.79ab	525	$36.67\pm2.45\mathrm{abcde}$	$21.11\pm1.89\mathrm{efgh}$	$15.56\pm0.47\mathrm{cd}$	20.00 ± 2.16 abc	$23.34 \pm 9.21 ab$
575 37.78 \pm 1.70abcde 27.78 \pm 1.70cdef 21.11 \pm 0.47cb 12.22 \pm 1.70cde 24.72 \pm 10.79ab	545	$16.67 \pm 0.00f$	$22.22\pm1.70\mathrm{defgh}$	$17.78\pm1.70\mathrm{cd}$	$4.44 \pm 0.47e$	$15.28 \pm 7.61a$
	560	$41.11\pm0.47\mathrm{abcd}$	$25.56 \pm 0.47 \mathrm{defg}$	$15.56 \pm 0.47 {\rm cd}$	$7.78\pm1.25\mathrm{de}$	22.50 ± 14.38 ab
580 46.67 \pm 1.63 abc 42.22 \pm 2.87 ab 7.78 \pm 0.94d 14.44 \pm 1.25 bcde 27.78 \pm 19.52 ab	575	$37.78 \pm 1.70 \mathrm{abcde}$	$27.78\pm1.70\mathrm{cdef}$	$21.11\pm0.47\mathrm{cb}$	$12.22\pm1.70\mathrm{cde}$	$24.72 \pm 10.79 ab$
	580	46.67 ± 1.63 abc	$42.22 \pm 2.87ab$	$7.78 \pm 0.94 \mathrm{d}$	$14.44\pm1.25\mathrm{bcde}$	27.78 ± 19.52 ab

¹⁾同列数据后凡具有相同一个字母者,表示差异不显著(P>0.05, Duncan's 法)

长角扁谷盗不同羽化日龄雌成虫对不同波长光的趋光率见表 3。575 nm 光对长角扁谷盗 1 日龄雌成虫引诱作用最强,成虫趋光率为 75.56%;320 nm 光对长角扁谷盗 11 日龄雌成虫引诱作用最强,成虫趋光率为 70.00%;400 和 445 nm 光对长角扁谷盗 21 日龄雌成虫引诱作用最强,成虫趋光率均为62.22%;320 和 560 nm 光对长角扁谷盗 31 日龄雌成虫引诱作用最强,成虫趋光率均为 71.11%。总的看来,较吸引长角扁谷盗雌成虫的光波长为 320、575

和 330 nm, 成虫趋光率依次为:67.22%、64.72%和62.78%。

长角扁谷盗 1 日龄雌成虫的趋光率为 51.11% ~75.56%,11 日龄趋光率为 18.89% ~70.00%,21 日龄趋光率为 33.33% ~62.22%,31 日龄趋光率为 22.22% ~71.11%。由此可见,随着日龄的增大,长角扁谷盗雌成虫的趋光率略为下降。

综上所述,锈赤扁谷盗成虫、土耳其扁谷盗雌成 虫和长角扁谷盗雌成虫趋光率范围分别为5.56%~

表 3 长角扁谷盗不同羽化日龄雌成虫对不同波长光的趋光率1)

Tab. 3 The phototactic ratios of female adults of Cryptolestes pusillus at different ages to lights with different wavelengths

λ	/nm	羽化1日龄	羽化11日龄	羽化21日龄	羽化31日龄	平均值
3	303	$68.89 \pm 2.36 \mathrm{abc}$	$44.44 \pm 0.47 {\rm cde}$	$34.44 \pm 3.78e$	$53.33\pm1.41\mathrm{bcdef}$	50.28 ± 14.61 ab
3	320	$71.11 \pm 2.49 ab$	$70.00 \pm 3.74a$	$56.67 \pm 4.81 abc$	$71.11 \pm 3.09a$	$67.22 \pm 7.05 \mathrm{b}$
3	330	$70.00 \pm 2.94 \mathrm{abc}$	61.11 \pm 2.87 ab	$61.11 \pm 4.57a$	$58.89\pm2.05\mathrm{abcd}$	$62.78 \pm 4.93 ab$
3	340	$70.00\pm0.82\mathrm{abc}$	$18.89 \pm 0.47 f$	$33.33 \pm 5.45e$	$66.67 \pm 2.16ab$	$47.22 \pm 25.12ab$
3	351	$57.78\pm2.87\mathrm{bcd}$	$55.56 \pm 2.49 abc$	$36.67 \pm 1.82 \mathrm{de}$	$51.11\pm1.25\mathrm{cdef}$	$50.28 \pm 9.49 ab$
3	368	$67.78\pm1.25\mathrm{abc}$	$50.00\pm2.16\mathrm{bcd}$	$48.89 \pm 2.10 {\rm bc}$	42.22 ± 0.94 f	52.22 ± 10.93 ab
4	100	$55.56 \pm 1.7 \mathrm{cd}$	$40.00\pm 2.16{\rm de}$	62.22 ± 1.05 a	$56.67\pm2.16\mathrm{bcde}$	53.61 ± 9.53 ab
4	145	$51.11 \pm 2.62d$	56.67 ± 0.82 abc	$62.22 \pm 3.78a$	$46.67 \pm 0.82 \mathrm{def}$	$54.17 \pm 6.75 ab$
4	160	$62.22\pm1.25\mathrm{abcd}$	62.22 ± 1.25 ab	$54.44 \pm 2.77 abc$	$61.11\pm1.25\mathrm{abc}$	60.00 ± 3.74 ab
4	180	$57.78\pm0.47\mathrm{bcd}$	$63.33 \pm 0.82ab$	$56.67 \pm 1.82 abc$	$22.22 \pm 0.94g$	$50.00\pm18.75{\rm ab}$
5	520	72.22 ± 1.70 ab	32.22 ± 2.36 ab	$53.33\pm5.45\mathrm{abc}$	42.22 ± 0.94 f	50.00 ± 17.14 ab
5	525	$51.11 \pm 1.70\mathrm{d}$	$52.22\pm1.70\mathrm{bcd}$	$46.67 \pm 1.82\mathrm{cd}$	$43.33 \pm 2.16f$	$48.33 \pm 4.11 ab$
5	545	$65.56 \pm 0.47 \mathrm{abcd}$	$63.33 \pm 1.41 ab$	$58.89 \pm 1.05 ab$	$60.00\pm1.63\mathrm{abcd}$	61.95 ± 3.06 ab
5	560	$58.89 \pm 2.05 \mathrm{abc}$	$52.22\pm1.70\mathrm{bcd}$	$60.00 \pm 1.82 ab$	$71.11 \pm 2.05a$	60.56 ± 7.83 ab
5	575	$75.56 \pm 1.70a$	$63.33 \pm 1.41 ab$	$61.11 \pm 2.77a$	$58.89\pm1.89\mathrm{abcd}$	$64.72 \pm 7.45 \mathrm{b}$
5	580	68.89 ± 2.05 abc	21.11 ± 1.25 f	$34.44 \pm 4.57e$	$44.44 \pm 1.25 ef$	$42.22 \pm 20.18a$

¹⁾ 同列数据后凡具有相同一个字母者,表示差异不显著(P>0.05, Duncan's 法)

32. 22%、4. 44% ~ 51. 11% 和 18. 89% ~ 75. 56%,3 种(雌)成虫的总平均趋光率分别为 18. 09%、 25. 00%和 54. 87%。3种扁谷盗(雌)成虫对上述波 长光波的趋光性排序为:长角扁谷盗雌成虫>土耳 其扁谷盗雌成虫>锈赤扁谷盗成虫。

3 讨论与结论

考虑到粮仓内扁谷盗科害虫种群世代重叠、成虫羽化日龄不整齐的情况^[10],本试验用4种羽化日龄成虫趋光率的平均值来估测实际环境中扁谷盗成虫的趋光率,结果表明:351、400和445 nm对锈赤扁谷盗有较好的诱集作用,368、351和303 nm对土耳其扁谷盗雌成虫有较好的诱集作用,320、575和330 nm对长角扁谷盗雌成虫有较好的诱集作用。此外羽化日龄影响扁谷盗的趋光性。锈赤扁谷盗成虫的趋光性随着日龄的增加而增强,土耳其扁谷盗雌成虫的趋光性随着日龄的增加而下降,长角扁谷盗雌成虫的趋光性随着日龄的增加而下降,长角扁谷盗雌成虫的趋光性随着日龄的增加略为下降。可以看出,羽化日龄对各种扁谷盗成虫趋光性的影响不同。

昆虫对单色光谱的敏感性存在很大的差异。Duafy^[12]曾对 8 种夜蛾科 Noetuidae 昆虫分别进行了 3 ~ 5 种单波长光(365~675 nm)的趋性比较,发现不同种类昆虫对波长的敏感性不同。龟纹瓢虫 Propylea japonica 成虫在 340~605 nm 光谱趋光反应为多峰型,在 340 nm 处峰最高,趋光反应率达 21%,其余各峰依大小次序分别位于绿光 524 nm、蓝光 400~440 和 483 nm 处^[13]。本试验结果显示紫外光和一部分可见光如绿光等不同波长单色光刺激均能使扁谷盗科成虫产生一定的趋光行为反应,这与前人研究^[13-14]得出多数昆虫的光敏感区位于紫外绿光和蓝光的结果基本一致。

昆虫的性别、日龄以及取食情况决定昆虫的生理状态,例如果蝇的趋光性随着年龄的增大呈现规律性变化,雌性降低,雄性增加,在中龄呈现顶峰^[14]。本试验结果表明土耳其扁谷盗雌虫的趋光率也随着日龄的增大而减小。

扁谷盗科害虫 1 年大约发生 3~6 代^[15],成虫寿命通常大于 2 个月,本试验研究了羽化后 1、11、21 和 31 日龄(雌)成虫的趋光性,剩余时间段(雌)成虫的趋光性还有待进一步研究。

本试验光刺激时间为 45 min,而在实际粮仓扁谷 盗科害虫的防控过程中,通常是数天持续开灯^[3,15]。因此,各种波长诱虫灯在粮仓内对 3 种扁谷盗的实际控制效果如何,有待粮仓内的进一步试验。

致谢:华南农业大学农学院 2011 级本科生乔智慧、宋允、叶芷菁同学和 2012 级本科生牛雪苗、李超凡同学参与了部分试验,特此致谢!

参考文献:

- [1] 姜春英. 储粮害虫防治方法研究初探[J]. 安徽农学通报, 2014, 19(16):119-120.
- [2] DUEHI A J, COHNSTAEDT L W A, RBOGAST R T, et al. Evaluating light attraction to increase trap efficiency for *Tribolium castaneum* (Coleoptera: Tenebrionidae) [J]. J Econ Entomol, 2011, 104(4):1430-1435.
- [3] 韦文生. 利用 LED 光催化捕蚊器诱捕主要扁谷盗属储粮害虫的试验[J]. 粮油仓储科技通讯, 2012, 28(6): 32-33.
- [4] 李智深. 不同灯光测控储粮害虫应用研究[D]. 郑州: 河南工业大学, 2014:3-4.
- [5] 姜自德, 苏林. 锈赤扁谷盗的防治措施[J]. 粮油仓储 科技通讯, 2015, 31(3):31-32.
- [6] 谢更祥, 唐易, 张连中, 等. 海南地区扁谷盗抗药性和 实仓防治研究[J]. 粮食储藏, 2013, 42(1):9-12.
- [7] 郑碧珍. 粮库扁谷盗科害虫的防治[J]. 粮油仓储科技通讯, 2006, 22(6):44-45.
- [8] FLINN P W, HAGSTRUM D W. Distribution of Cryptolestes ferrugineus (Coleopteera: Cucujidae) in response to temperature gradients in stored wheat [J]. J Stored Prod Res, 1998, 34(2/3):107-112.
- [9] PARDE S R, JAYAS D S, WHITE N D G. Movement of Cryptolestes ferrugineus (Coleopteera: Cucujidae) in grain columns containing pockets of high moisture content wheat and carbon dioxide gradients[J]. J Stored Prod Res, 2004, 40(2):299-316.
- [10] JIAN F, JAYAS D S, WHITE N D G. Optimal environmental search and scattered orientations during movement of adult rusty grain beetles, *Cryptolestes ferrugineus* (Stephens), in grain bulks-suggested movement and distribution patterns[J]. J Stored Prod Res, 2009, 45(2):177-183.
- [11] 苏青峰, 王殿轩, 郑超杰, 等. 锈赤扁谷盗的综合治理 技术对策[J]. 粮食储藏, 2013, 42(4):3-7.
- [12] DUAFY P O. Contibutiou a I'etude du phototvopisme des Lepidopteres Noctuids [J]. Ann Sci Nat, 1964, 12(6): 281-406.
- [13] 陈晓霞, 闫海燕, 魏玮, 等. 光谱和光强度对龟纹瓢虫成虫趋光行为的影响[J]. 生态学报,2009,29(5):50-55.
- [14] LE BOURG E, BADIA J. Decline in photopositive tendencies with age in *Drosophila melanogaster* (Diptera: Drosophilidae) [J]. J Insect Behav, 1995, 8(6):835-845.
- [15] 宋建元, 刘征. 利用节能灯诱杀锈赤扁谷盗的试验[J]. 粮食科技与经济, 2008, 33(5);39-42.

【责任编辑 霍 欢】